

روشی برای شبیه سازی تراپردا فوتون در ماده

احمد شیرانی و محمد حسن علامت‌ساز

دانشکده فیزیک، دانشگاه صنعتی اصفهان

(دریافت مقاله: ۷۶/۹/۲۱ دریافت نسخه نهایی: ۷۷/۶/۲۱)

چکیده

شبیه سازی جذب تابش‌های گاما به طریق مونت - کارلو روشی است که به طور گستردۀ برای محاسبه جذب این تابشها در مواد مختلف و به اشکال مختلف مورد استفاده قرار می‌گیرد. در این گونه شبیه سازیها، نمونه یا بی زاویه پراکندگی فوتونها از روی توزیع کلاین - نیشینا از اهمیت خاصی برخوردار است. در این مقاله یک روش وزن کردن برای منظور کردن توزیع کلاین - نیشینا در پراکندگی فوتونها ارائه شده است که در مقایسه با سایر روش‌های موجود دقت و سرعت بیشتری است و برای تمامی فوتونهای با انرژی بالاتر از 1 keV است. با استفاده از این روش کسری از انرژی فوتونها که در کره‌های از جنس آب و اندازه‌های مختلف جذب می‌شوند، محاسبه و با نتایج حاصل از دیگر روش‌ها مقایسه شده است. سازگاری بسیار خوب نتایج نشان می‌دهد که روش وزن کردن را می‌توان جایگزین دیگر روشها کرد.

۱. مقدمه

الف) با استفاده از رابطه زیر فاصله x که فوتون طی می‌کند تا یک برهمنش انجام دهد به طور تصادفی انتخاب (نمونه یا بی) می‌شود،

$$x = -\frac{1}{\mu} \ln(1-p), \quad (1)$$

در این رابطه p عددی تصادفی ($0 \leq p \leq 1$) و μ ضریب تضعیف خطی تابش γ (با انرژی E) در ماده مورد نظر است.

ب) اگر محل برهم‌کنش خارج از ماده جذب کننده باشد سرگذشت فوتون پایان می‌پذیرد و انرژی جذب شده در ماده صفر منظور می‌شود و برنامه از ابتدا برای رویداد دیگری شروع می‌شود.

ج) اگر محل برهم‌کنش داخل جسم جذب کننده باشد با استفاده

شبیه سازی تراپردا فوتون در ماده به روش مونت - کارلو، روشی است که در محاسبات مربوط به طراحی حفاظت لازم برای چشممه‌های اشعه γ و γ ، طراحی آشکار سازهای با اندازه و جنس مناسب برای آشکارسازی این نوع تابشها، و در پژوهشکی هسته‌ای برای تعیین دز جذب شده در بافت‌های مختلف بدن که در اثر مصرف مواد رادیواکتیو حاصل می‌شود، مورد استفاده قرار می‌گیرد. در این گونه محاسبات برای تعیین انرژی تابشی جذب شده در ماده‌ای که شامل چشممه پرتوزا می‌باشد و یا ماده‌ای که در مقابل چشممه قرار گرفته است، یک فوتون با انرژی مشخص در یک جهت تصادفی تولید می‌شود و طی مراحل زیر سرگذشت آن تعیین می‌شود [۱]:

مطرح می شود. چون در انرژیهای بالا افزایش انرژی اشعه گاما، توزیع زاویه ای فوتونهای پراکنده شده به گونه ای تغییر می کند که تعداد زیادی از رویدادها و اپس زده می شوند، بازدهی روشهای و اپس زنی به شدت کاهش می یابد، و به همین دلیل استفاده از این روشهای در انرژیهای بالا توصیه نمی شود. کوبلینگر [۸] نیز نشان داده، در صورتی که انرژی اشعه گامای فرودی از مقدار $\frac{1}{4} MeV$ بزرگتر باشد، تابع توزیع کلاین - نیشینا را می توان به صورت مجموع چهارتابع مشتبث نوشت که حل وارون تابع چگالی جمعی هر یک از آنها به روش تحلیلی میسر است. بنابراین، در صورتی که انرژی اشعه گامای از MeV $\frac{1}{4}$ بزرگتر باشد، می توان زوایه پراکنده فوتونها را با استفاده از این روش مستقیماً "نمونه یابی" کرد. بررسی جامعی از روشهای مختلف که توسط بلومکیست و گلبارد [۹] انجام گرفته نشان می دهد، روش کان [۶-۷]، که یک روش و اپس زنی غیر یکنواخت است، در انرژیهای پایین و روش کوبلینگر [۸] در انرژیهای $E_{\gamma} > \frac{1}{4} MeV$ مناسبترین روشهای نمونه گیری می باشند. روش دیگری که نوعی روش وارونی تقریبی است، توسط لی و همکاران [۱۰]، در محاسبات مربوط به آشکارسازهای بالبعد محدود به کار گرفته شده است. ولی چون روشهای وارونی تقریبی چندان دقیق نیستند، در مواردی که دقت زیاد مورد نظر باشد، "معمولًا" از این روشهای استفاده نمی شود.

در این مقاله یک روش جدید برای منظور کردن توزیع کلاین - نیشینا برای زاویه پراکنده θ ارائه شده و چگونگی محاسبه ϕ (کسر جذب شده) با استفاده از آن برای هر رویداد یک شده است. این روش به دلیل اینکه در آن برای هر رویداد یک وزن محاسبه می شود "روشن وزن کردن" نامگذاری شده است، و با روشهای وزنی که در محاسبه انتگرالها به طریق مونت کارلو به کار می روند و همچنین روشهای وزنی دیگر، نظیر آنچه در مرجع شماره ۲ برای نمونه یابی توزیع کلاین - نیشینا ارائه شده است، کاملاً تفاوت دارد.

۲. روابط لازم و روش وزن کردن

۲.۱. روابط لازم

در این بخش روابط مربوط به پراکنده فوتونها که در روش وزن کردن مورد استفاده قرار می گیرند معرفی می شوند. هنگامی که یک فوتون با انرژی E_{γ} به یک الکترون برخورد می کند و پراکنده می شود، توزیع زاویه ای فوتونهای پراکنده شده از رابطه

از اعداد تصادفی و با توجه به مقادیر سطح مقطعهای مربوطه نوع برهم کنش (فوتوالکتریک، پراکنده کامپتون و تولید زوج) تعیین می شود.

(د) اگر برهم کنش از نوع فوتوالکتریک باشد سرگذشت فوتون خاتمه می یابد و فرض می شود کل انرژی فوتون به جسم جذب کننده انتقال یافته است. در صورتی که تولید زوج داده باشد بعدی مربوط می شود، در ماده دنبال می شود و فرض می شود بقیه انرژی فوتون فرودی در ماده جذب شده است.

(ه) چنانچه نوع برهم کنش پراکنده کامپتون باشد سطح مقطع دیفرانسیلی مربوطه که توسط رابطه کلاین - نیشینا داده می شود، نمونه یابی می شود و با استفاده از آن مسیر جدید فوتون پراکنده شده تعیین می شود (رابطه کلاین - نیشینا در بخش بعدی معرفی شده است). در اینجا انرژی جذب شده در این نقطه برهم کنش محاسبه و سپس مراحل (الف) تا (ه) برای فوتون پراکنده شده تکرار می شود.

به این ترتیب فوتونها در ماده دنبال می شوند و با توجه به ابعاد ماده جذب کننده، کسر زیر برای هر رویداد محاسبه می شود.

$$\frac{\text{انرژی جذب شده در ماده}}{\text{انرژی فوتون تابش شده از چشم}} = \frac{\text{کسر جذب شده}}{\text{کسر جذب شده در ماده ave}}$$

این عمل برای تعداد زیادی فوتون تکرار و مقدار متوسط

کسر جذب شده ϕ_{ave} محاسبه می شود.

در مراحل فوق یک بخش حساس نمونه یابی توزیع کلاین - نیشینا است، به این معنی که در هر پراکنده فوتون توسط الکترون، زاویه پراکنده فوتون (θ) باید به گونه ای انتخاب شود که توزیع زاویه ای فوتونها برای تعداد زیادی رویداد از رابطه کلاین - نیشینا پیروی کند. روشهای مختلفی برای نمونه گیری زاویه θ از روی توزیع احتمال کلاین - نیشینا ارائه شده است که اغلب بر روشهای وارونی [۲] و وارونی تقریبی [۳] یا بر روشهای و اپس زنی یکنواخت [۴] و غیر یکنواخت [۵-۷] مبتنی هستند. در روشهای وارونی چون حل وارون تابع چگالی جمعی، که بالantگرال گیری از رابطه کلاین - نیشینا به دست می آید، به طریق تحلیلی امکان پذیر نیست باید از روشهای عددی مانند روش نیوتون برای حل آن استفاده کرد که روشی طولانی و وقت گیر است. در روشهای و اپس زنی چون تعدادی از رویدادها و اپس زده می شوند، مسئله بازدهی (نسبت تعداد رویدادهای پذیرفته شده به تعداد کل رویدادهای تولید شده)

$$E_e = E_\gamma \frac{\alpha(1 - \cos\theta)}{1 + \alpha(1 - \cos\theta)} . \quad (8)$$

بیشینه انرژی که الکترون هدف می‌تواند در یک برخورد حمل کند، عبارت است از

$$(E_e)_{max} = \frac{2\alpha}{1 + 2\alpha} E_\gamma . \quad (9)$$

زیر (رابطه کلاین - نیشینا) پیروی می‌کند.

$$\frac{d\sigma}{d\Omega} = r_0^2 \left[\frac{1}{1 + \alpha(1 - \cos\theta)} \right]^2 \left[\frac{1 + \cos^2\theta}{2} \right] \times \left\{ 1 + \frac{\alpha^2(1 - \cos\theta)^2}{(1 + \cos^2\theta)[1 + \alpha(1 - \cos\theta)]} \right\} , \quad (2)$$

در این رابطه θ زاویه پراکندگی فوتون نسبت به امتداد فوتون فرودی، $r_0 = 2/818 \times 10^{-13} \text{ cm}$ (شعاع کلاسیکی الکترون) و $\alpha = E_\gamma/m_e c^2$ انرژی فوتون فرودی بر حسب انرژی سکون الکترون است. با انتگرال گیری از رابطه فوق در تمام فضا سطح مقطع پراکندگی کامپیتون (σ_c) به ازای یک الکترون به دست می‌آید:

$$\sigma_c = \int \frac{d\sigma}{d\Omega} d\Omega , \quad (3)$$

$$\sigma_c = 2\pi r_0^2 \left\{ \frac{1 + \alpha}{\alpha^2} \left[\frac{2(1 + \alpha)}{1 + 2\alpha} - \frac{1}{\alpha} \ln(1 + 2\alpha) \right] + \frac{1}{2\alpha} \ln(1 + 2\alpha) - \frac{1 + 3\alpha}{(1 + 2\alpha)^2} \right\} . \quad (4)$$

در پراکندگی کامپیتون، انرژی فوتون پراکنده شده (E') به صورت زیر به انرژی فوتون تابشی (E_γ) مربوط می‌شود،

$$E'_\gamma = \frac{E_\gamma}{1 + \alpha(1 - \cos\theta)} . \quad (5)$$

بنابراین در یک برخورد از نوع کامپیتون که در آن فوتون تحت زاویه θ پراکنده می‌شود، انرژی دریافت شده توسط الکترون هدف چنین است،

$$E_e = E_\gamma - E'_\gamma . \quad (6)$$

توزیع انرژی الکترونهای هدف توسط رابطه زیر داده می‌شود،

$$\frac{d\sigma}{dE_e} = \frac{\pi r_0^2}{\alpha^2 m_e c^2} \left\{ 2 + \left(\frac{E_e}{E_\gamma - E_e} \right)^2 \left[\frac{1}{\alpha^2} \frac{E_\gamma - E_e}{E_\gamma} - \frac{2}{\alpha} \frac{E_\gamma - E_e}{E_e} \right] \right\} . \quad (7)$$

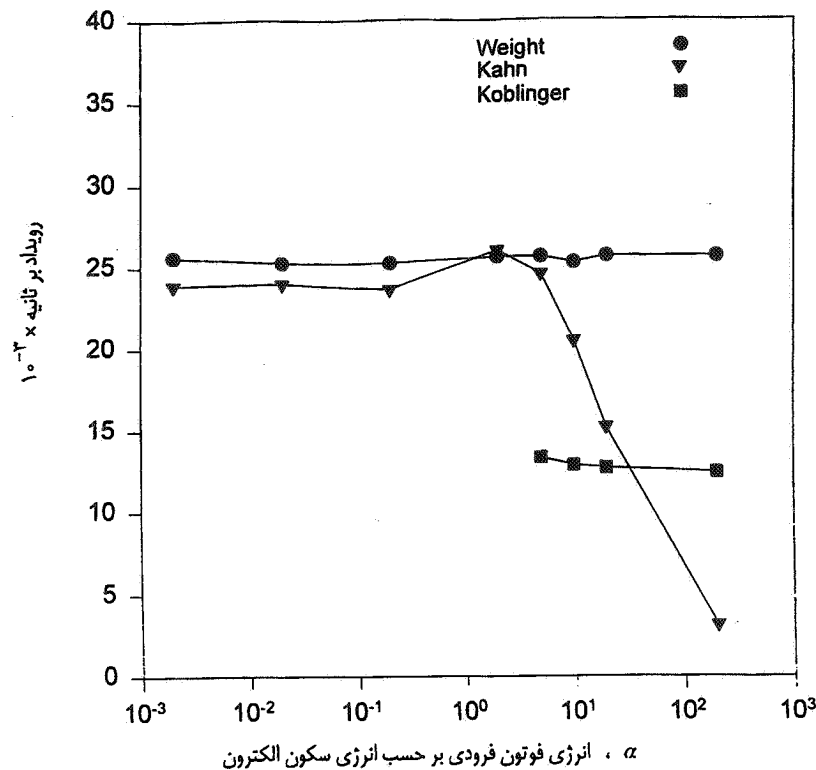
و انرژی الکترون هدف بر حسب زاویه پراکندگی به صورت زیر است،

$$\frac{\left(\frac{d\sigma}{d\Omega} \right) d\Omega}{\int \left(\frac{d\sigma}{d\Omega} \right) d\Omega} = \frac{2\pi \left(\frac{d\sigma}{d\Omega} \right) dx}{\sigma_c} .$$

برای اینکه توزیع یکنواخت به توزیع کلاین - نیشینا تبدیل شود، می‌توان $\frac{1}{2} dx$ را در وزن W (که تابعی از x است) ضرب کرد،

$$\left(\frac{1}{2} dx \right) W = \frac{2\pi \left(\frac{d\sigma}{d\Omega} \right) dx}{\sigma_c} , \quad \text{در نتیجه}$$

$$W = \frac{4\pi \left(\frac{d\sigma}{d\Omega} \right)}{\sigma_c} , \quad (10)$$



شکل ۱. سرعت نمونه یابی روش‌های مختلف بر حسب انرژی فوتون فرودی.

جدول ۱ - انحراف نسبی میانگین (MRD) توزیعهای مختلف از توزیع کلاین - نیشنینا

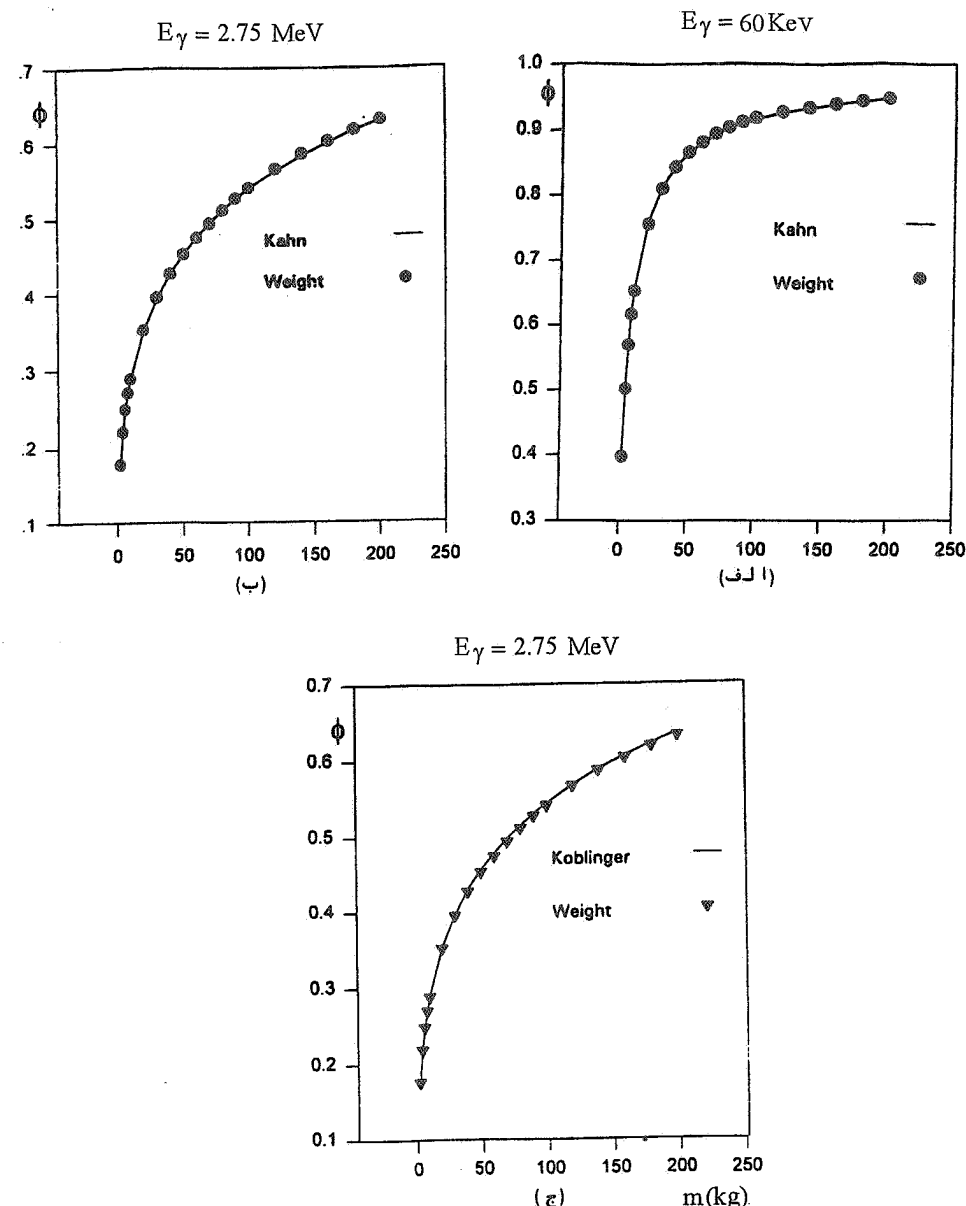
α	روش وزن کردن	روش کان	روش کوبلینگر
۰/۰۰۲	۰/۰۲۳	۰/۰۲۳	
۰/۰۲	۰/۰۲۳	۰/۰۲۴	
۰/۲	۰/۰۲۳	۰/۰۲۸	
۲	۰/۰۲۴	۰/۰۲۷	
۵	۰/۰۲۴	۰/۰۳۲	۰/۰۳۹
۱۰	۰/۰۲۴	۰/۰۳۶	۰/۰۴۲
۲۰	۰/۰۲۴	۰/۰۳۸	۰/۰۴۱
۲۰۰	۰/۰۲۹	۰/۰۴۵	۰/۰۴۹

چنانچه زاویه θ جایگزین x شود و مقدار آن بین 0 و π تولید گردد، وزن مربوطه باید به صورت زیر باشد،

$$W = \frac{\pi \left(\frac{d\sigma}{d\Omega} \right)}{A}, \quad (11)$$

$$W = \frac{(E_e)_{max} \left(\frac{d\sigma}{dE_e} \right)}{\sigma_c} \quad (12)$$

که در آن $A = \int_0^\pi d\theta \left(\frac{d\sigma}{d\Omega} \right)$ است. و یا ممکن است از رابطه (۷) استفاده کرد و x را انرژی الکترون پراکنده شده در نظر گرفت که



شکل ۲. کسر جذب شده انرژی (ϕ) برحسب جرم کره آبی و مقایسه با روش‌های کان و کوبلینگر.

گاما کاربرد دارد، برای تعداد مشابهی رویداد، نسبت به سایر روش‌ها دارای دقیق‌تری است. انحراف نسبی میانگین فوق الذکر به صورت زیر تعریف می‌شود

$$MRD = \frac{1}{n} \sum_{i=1}^n \left| \frac{\left(\frac{d\sigma}{d\Omega} \right)_i \text{theory} - \left(\frac{d\sigma}{d\Omega} \right)_i \text{model}}{\left(\frac{d\sigma}{d\Omega} \right)_i \text{theory}} \right|,$$

۳. ارائه نتایج و بحث

۳.۱. دقیقت و سرعت و وزن وزن کردن

توزیع زاویه‌ای فوتونهای پراکنده شده، در چند انرژی (و در هر انرژی برای ۵۰۰۰۰ رویداد) به روش‌های مختلف وزن کردن، کان [۷] و کوبلینگر [۸] تولید و در هر مورد انحراف نسبی میانگین (MRD) توزیع به دست آمده از توزیع تئوری (کلاین - نیشینا) محاسبه شد. نتایج این محاسبات که در جدول ۱ ارائه شده‌اند نشان می‌دهند روش وزن کردن، که در سراسر گستره انرژی اشعه

با انرژیهای مختلف در مرکز کره‌های از جنس آب (که از نظر چگالی جرمی و چگالی الکترونی بسیار نزدیک به بافت نرم است) و با جرمها مخالف در نظر گرفته شدند و در هر مورد ϕ_{ave} برای تعداد زیادی رویداد (در اینجا $N=50000$) به روش وزن کردن محاسبه شد. نمونه هایی از نتایج این محاسبات در شکل ۲ نشان داده شده‌اند. با استفاده از همان سطح مقطع‌هایی که در روش وزن کردن مورد استفاده واقع شدند و طی همان مراحلی که در مقدمه گفته شد ϕ_{ave} از طریق نمونه‌یابی زاویه پراکنده‌ی فوتونها به روشهای کان و کوبلینگر نیز باز تولید شد. نتایج این محاسبات با نتایج به دست آمده به روش وزن کردن کاملاً مطابقت داشتند. نمونه هایی از این نتایج جهت مقایسه با روش وزن کردن در شکل ۲ نشان داده شده‌اند. مقایسه باروش کان هم در انرژیهای کمتر از $MeV 1/4$ (شکل ۲-الف) و هم در انرژیهای بالاتر از $MeV 1/4$ (شکل ۲-ب) انجام گرفته است. مقایسه با روش کوبلینگر فقط در انرژیهای بالاتر از $MeV 1/4$ (شکل ۲-ج) انجام شده‌است (چون روش کوبلینگر فقط در انرژیهای بالاتر از $MeV 1/4$ کاربرد دارد).

۴. نتیجه‌گیری

همان طور که در مقدمه گفته شد، در شبیه سازی تراپرد فوتون در ماده، زاویه پراکنده‌ی فوتون در انرژیهای پایین معمولاً با استفاده از روش کان و در انرژیهای $E_\gamma > 1/4 MeV$ با استفاده روش کوبلینگر نمونه‌یابی می‌شود. روش وزن کردن که در این مقاله ارائه شده است، در مقایسه با روشهای کان و کوبلینگر هم دارای دقت بیشتری است (جدول ۱) و هم در سراسر گستره انرژی دارای سرعت بیشتری است (شکل ۱). در روش وزن کردن با در نظر گرفتن یک وزن که به سادگی برای هر رویداد قابل محاسبه است می‌توان میانگین وزنی کسر جذب شده انرژی اشعه گاما در ماده را، به روشی که گفته شد، محاسبه کرد. از آنجا که نتایج حاصل از روش وزن کردن با نتایج حاصل از دیگر روشهای توصیه شده موجود سازگاری کامل دارند (شکل ۲) و با توجه به سرعت و دقت روش وزن کردن، می‌توان این روش را جایگزین دیگر روشهای کرد.

سپاسگزاری

از حوزه معاونت پژوهشی دانشگاه صنعتی اصفهان به خاطر فراهم آوردن تسهیلات لازم جهت انجام این پژوهش تشکر و قدردانی می‌شود.

که در آن n تعداد رده است. در محاسباتی که انجام شد $n=45$ در نظر گرفته شد.

در نمونه‌گیری از روی توزیع کلاین - نیشینا به روشهای مختلف، زمان اجرای برنامه در هر مورد برای بررسی سرعت روشهای مختلف ثبت شد. نتایج این بررسیها در شکل ۱ نشان داده شده‌اند. همان‌گونه که مشاهده می‌شود روش کان در مقادیر $\alpha < 30^\circ$ سریعتر از روش کوبلینگر است و در مقادیر $\alpha > 30^\circ$ بازدهی روش کان به شدت کاهش می‌یابد روش کوبلینگر سریعتر است. این نتایج با نتایج بلومکیست و گلبارد [۹] سازگاری کلی دارند. این شکل همچنین نشان می‌دهد که روش وزن کردن در سراسر گستره انرژی سریعتر از هر دو روش کان و کوبلینگر است، به طوری که در مقادیر $\alpha > 30^\circ$ به مراتب سریعتر از روش کان و تا حدود دو برابر سریعتر از روش کوبلینگر است.

۴.۲.۳. محاسبه کسر جذب شده انرژی

کسر جذب شده انرژی (ϕ)، طی مراحلی که در مقدمه گفته شد، محاسبه می‌شود. لیکن برای محاسبه آن به روش وزن کردن، به جای نمونه‌یابی توزیع کلاین - نیشینا، زاویه پراکنده‌ی فوتونها بر اساس یک توزیع تخت ($\theta \leq \pi/2$) انتخاب می‌شود و برای هر رویداد یک وزن در نظر گرفته می‌شود و با استفاده از رابطه زیر مقدار میانگین وزنی کسر جذب شده انرژی برای N رویداد محاسبه می‌شود.

$$\phi_{ave} = \frac{\sum_{i=1}^N W_i \phi_i}{\sum_{i=1}^N W_i}$$

در این رابطه W_i وزن نسبت داده شده به رویداد i است. از آنجا که هر فوتون ضمن حرکت خود در ماده ممکن است چندین برهم کنش داشته باشد، این وزن به صورت $W_i = \left(\sum_{j=1}^N W_j \right)$ نوشته می‌شود که در آن N' تعداد برهم کنشها می‌آید است که فوتون نام ضمن حرکت خود در ماده انجام می‌دهد و Z وزنی است که به زمین نقطه برهم کنش نسبت داده می‌شود. این وزن برای نقاطی که در آنها بر هم کنش از نوع پراکنده‌ی کامپتون است براساس یکی از روابط (۱۰) یا (۱۱) و یا (۱۲) مناسب با توزیع کلاین - نیشینا در انرژی مربوطه محاسبه می‌شود و در غیر این صورت برابر یک است. در محاسباتی که انجام شد چشم‌های نقطه‌ای اشعه گاما

مراجع

6. H Kahn, " Applications of Monte - Carlo", AECU - 3259, National Technical Information Service, Springfield, Virginia (1954).
7. C D Zerby, Methods in Computational Physics, **1**, 89 (1963).
8. L Koblinger, Nucl. Sci. Eng, **56**, 218 (1975).
9. R N Blomquist and E M Gelbard, Nucl. Sci. Eng.,**83**, 380 (1983).
10. D Li, C Shaohui, H Zhengfeng and H Jie, J. Nucl. Sci. and Tech. **33**, 736 (1996).
1. P Andreo, Phys. Med. Biol., **36**, 861 (1991).
2. G P Cavanaugh and A B Chilton, Nucl. Sci. Eng., **53**, 256 (1974).
3. C J Everett and E D Cashwell, " A new method of sampling the Klein - Nishina probability distribution for all incident photon energies above 1 keV (a revised complete account)", LA - 7188 - MS Los Alamos National Laboratory (1978).
4. A Edward Profio, Radiation Shielding and Dosimetry, John wiley & Sons (1979).
5. Y S Horowitz, A Dubi, and S Mordechai, Nucl. Sci. Eng., **60**, 461 (1976).